

## *D*-оптимальные планы для двумерной полиномиальной модели\*

П. В. Шпилев

Санкт-Петербургский государственный университет,  
Российская Федерация, 199034, Санкт-Петербург, Университетская наб., 7–9

**Для цитирования:** Шпилев П. В. *D*-оптимальные планы для двумерной полиномиальной модели // Вестник Санкт-Петербургского университета. Математика. Механика. Астрономия. 2024. Т. 11 (69). Вып. 3. С. 537–548. <https://doi.org/10.21638/spbu01.2024.310>

Для двумерной полиномиальной регрессионной модели исследовано влияние аффинного преобразования пространства планирования на число точек носителя *D*-оптимального плана. Для модели полного ранга степени  $n$  получен результат, определяющий структуру *D*-оптимального. Доказано, что для симметричной относительно нуля области планирования оптимальный план является симметричным. Полученный результат позволяет значительно уменьшить размерность целевой оптимизационной задачи и лежит в основе алгоритма, разработанного автором для нахождения *D*-оптимальных планов для моделей неполного ранга на несимметричных областях планирования. Исследована *D*-эффективность планов, сконцентрированных в равноотстоящих точках.

*Ключевые слова:* многомерные регрессионные модели, двумерные полиномиальные регрессионные модели, *D*-оптимальные планы, *D*-эффективность.

**1. Введение.** В литературе по планированию наиболее изученными являются оптимальные планы для линейных по параметрам одномерных регрессионных моделей (см. [1–3]). Данные модели достаточно универсальны и получили широкое распространение на практике, однако не всегда позволяют описать исследуемую зависимость с требуемой точностью, вследствие чего возникает необходимость использовать более сложные, многомерные модели. Вместе с тем такие модели изучены относительно мало. Общие результаты для многомерных моделей были получены для случая, когда регрессионная функция представлена в виде прямого произведения функций одной переменной (см. монографию [4]). Для многочленов 2-го порядка были аналитически построены *D*-оптимальные планы на гиперкубе, гипершаре и симплексе (см. [5, 6]), а также планы для оценивания экстремума таких многочленов [7] и *D*-оптимальные планы для сферических гармонических функций [8]. Недавно был предложен подход к построению *D*-оптимальных планов для многомерной полиномиальной модели, основанной на использовании моментов (см. [9]).

Как правило, исследователи ограничиваются рассмотрением фиксированной области планирования, на которой ищется оптимальное решение. Вопрос о том, как влияет изменение области планирования на структуру и размерность решения обычно остается открытым. Вместе с тем задача нахождения оптимального плана с минимальным числом точек носителя имеет большое практическое значение, так как

---

\* Исследование выполнено за счет совместного гранта Российского научного фонда и Санкт-Петербургского научного фонда № 23-21-10013, <https://rscf.ru/project/23-21-10013/>.

© Санкт-Петербургский государственный университет, 2024

использование таких планов позволяет уменьшить расходы на проведение экспериментов. В серии недавних работ [10–12], посвященных изучению вышеозначенного вопроса, нам удалось показать, что в некоторых случаях трансформация области планирования может приводить как к уменьшению, так и к увеличению числа точек оптимального плана, что означает, что выбор подходящей области может сократить количество требуемых (при заданной точности) измерений.

Настоящая работа посвящена исследованию влияния аффинного преобразования пространства планирования на структуру  $D$ -оптимального плана для двумерной полиномиальной модели. Во втором разделе даны базовые понятия и определения. Третий раздел посвящен исследованию  $D$ -оптимальных планов для модели полного ранга степени  $n$ . В четвертом разделе рассматривается вопрос влияния аффинного преобразования пространства планирования на структуру оптимального плана для моделей неполного ранга и предлагается итерационный алгоритм построения оптимальных планов, обеспечивающий сходимость к решению.

**2. Постановка задачи.** Рассмотрим классическую регрессионную модель:

$$y = \eta(x, \theta) + \epsilon, \quad (1)$$

где переменная  $x$  принадлежит компактному пространству  $\mathcal{X} \subset R^k$ , а случайная величина  $\epsilon \sim N(0, \sigma^2)$ ,  $\sigma^2 > 0$ . Вектор  $\theta \in \Theta \subset R^p$  есть вектор неизвестных параметров, а  $\eta: R^k \rightarrow R^1$  – заданная регрессионная функция (см. [2]).

Под (непрерывным) планом эксперимента мы будем понимать вероятностную меру  $\xi$  с конечным носителем. Мера  $\xi$  определяется таблицей:

$$\xi = \begin{pmatrix} (x_{11}, x_{21}) & \dots & (x_{1n}, x_{2n}) \\ \omega_1 & \dots & \omega_n \end{pmatrix}, \quad (x_{1i}, x_{2i}) \in \mathcal{X}, \quad i = 1, 2, \dots, n.$$

Носитель плана  $\xi$  состоит из точек, в которых проводятся наблюдения, а веса  $\omega_i$  определяют относительные доли общего числа наблюдений, проводимых в соответствующих точках [2], и удовлетворяют условиям  $\omega_i \geq 0$ ,  $\sum_{i=1}^n \omega_i = 1$ .

В настоящей работе предполагается линейность функции регрессии относительно параметров, что означает, что  $\eta(x, \theta)$  имеет следующий вид:

$$\eta(x, \theta) = f^T(x)\theta, \quad (2)$$

где  $f(x) = (f_1(x), \dots, f_p(x))^T \in R^p$  – вектор регрессионных функций  $f_i(x): R^k \rightarrow R^1$ ,  $i = 1, \dots, p$ .

Информационной матрицей Фишера плана  $\xi$  (см., например [13]) называется матрица

$$M(\xi) = \int_{\mathcal{X}} f(x)f^T(x)d\xi(x). \quad (3)$$

Говорят, что план  $\xi^*$   $D$ -оптимален, если он максимизирует функционал  $\Phi(\xi) = \log |M(\xi)|$ , т. е.

$$\Phi(\xi^*) = \sup_{\xi \in \Xi} \log |M(\xi)|, \quad (4)$$

где  $\Xi$  – множество непрерывных планов на  $\mathcal{X}$ .

Удобным инструментом проверки заданного плана  $\xi$  на  $D$ -оптимальность является теорема Кифера – Вольфовица (см. [13]).

**Теорема 2.1.** Если множество информационных матриц компактно, то следующие условия эквивалентны:

- (а) план  $\xi^*$  —  $D$ -оптимальный;
- (б) план  $\xi^*$  минимизирует  $\max_{x \in \mathcal{X}} f^T(x)M^{-1}(\xi)f(x)$ ;
- (с)  $\max_{x \in \mathcal{X}} f^T(x)M^{-1}(\xi^*)f(x) = p$ .

Причем если план  $\xi^*$  сосредоточен в конечном числе точек, то последнее равенство достигается в точках  $x_i^*$  оптимального плана  $\xi^*$ . Кроме того, информационные матрицы всех оптимальных планов совпадают. В условиях теоремы план  $\xi^* \in \Xi$ .

**Замечание 2.1.** Функцию  $\varphi(x, \xi) = f^T(x)M^{-1}(\xi)f(x)$  в литературе часто называют экстремальным полиномом плана  $\xi$ . Теорема Кифера — Вольфовица позволяет в некоторых случаях упростить исходную оптимизационную задачу, сводя ее к задаче нахождения максимумов экстремального полинома.

**3.  $D$ -оптимальные планы для двумерной полиномиальной модели.** Рассмотрим двумерную полиномиальную модель на прямоугольнике:

$$y = \eta(x, \theta) + \epsilon = \theta^T f(x_1, x_2) + \epsilon, \quad \mathcal{X} = [a_1, a_2] \times [b_1, b_2], \quad a_1, a_2, b_1, b_2 \in \mathbb{R}, \quad (5)$$

где  $\theta \in R^p$  — вектор неизвестных параметров;  $f(x_1, x_2) \in R^p$  — вектор регрессионных функций, состоящий из одночленов (с единичными коэффициентами), а случайная величина  $\epsilon \sim N(0, \sigma^2)$ ,  $\sigma^2 > 0$ .

Мы будем говорить, что модель (5) является моделью полного ранга степени  $n$ , если ее вектор регрессионных функций содержит все возможные сочетания компонент  $x_1^i x_2^j$ ,  $i, j = 0, \dots, n$  (при ограничении  $i + j \leq n$ ). В этом случае  $p = \frac{n^2 + 3n + 2}{2} = C_{n+2}^2$  и скалярное произведение  $\theta^T f(x_1, x_2)$  можно представить в виде двойной суммы:

$$\theta^T f(x_1, x_2) = \sum_{i=0}^n \sum_{j=0}^i \theta_{\frac{i^2+i}{2}+j} x_1^{i-j} x_2^j. \quad (6)$$

Будем называть план  $\xi$  симметричным планом 2-го порядка (и обозначать  $\xi_{sym}$ ), если для неотрицательных целых  $\alpha_1$  и  $\alpha_2$  ( $\alpha_1 + \alpha_2 \leq 2n$ ) выполняются следующие соотношения:

$$\lambda_{\alpha_1, \alpha_2} = \int_{\mathcal{X}} x_1^{\alpha_1} x_2^{\alpha_2} d\xi(x) = \begin{cases} 0, & \text{если } \alpha_1 \text{ или } \alpha_2 \text{ — нечетное,} \\ \neq 0, & \text{в противном случае.} \end{cases} \quad (7)$$

Информационная матрица плана  $\xi_{sym}$  (после соответствующих перестановок элементов вектора регрессионных функций) имеет следующий вид:

$$M(\xi_{sym}) = \begin{pmatrix} M_1(\xi_{sym}) & 0 & 0 & 0 \\ 0 & M_2(\xi_{sym}) & 0 & 0 \\ 0 & 0 & M_3(\xi_{sym}) & 0 \\ 0 & 0 & 0 & M_4(\xi_{sym}) \end{pmatrix},$$

где блоки

$$M_1(\xi) \in R^{k_1(n) \times k_1(n)} = \{\lambda_{2i, 2j}\}_{i, j=0, 2, \dots, 2[\frac{n}{2}]}, \quad i + j \leq n,$$

$$\begin{aligned}
M_2(\xi) &\in R^{k_2(n) \times k_2(n)} = \{\lambda_{2i,2j}\}_{i=1,3,\dots,2\lfloor \frac{n+1}{2} \rfloor - 1, j=0,2,\dots,2\lfloor \frac{n}{2} \rfloor}, \quad i+j \leq n, \\
M_3(\xi) &\in R^{k_2(n) \times k_2(n)} = \{\lambda_{2j,2i}\}_{i=1,3,\dots,2\lfloor \frac{n+1}{2} \rfloor - 1, j=0,2,\dots,2\lfloor \frac{n}{2} \rfloor}, \quad i+j \leq n, \\
M_4(\xi) &\in R^{k_3(n) \times k_3(n)} = \{\lambda_{2i,2j}\}_{i,j=1,3,\dots,\lfloor \frac{n+1}{2} \rfloor - 1}, \quad i+j \leq n, \\
k_1(n) = k_2(n) &= \frac{n^2 + 4n + 3}{8}, \quad k_3(n) = \frac{n^2 - 1}{8}, \quad \text{если } n \text{ — нечетное,} \\
k_1(n) = \frac{n^2 + 6n + 8}{8}, \quad k_2(n) = k_3(n) &= \frac{n^2 + 2n}{8}, \quad \text{если } n \text{ — четное.}
\end{aligned}$$

В случае, когда область планирования — квадрат (с центром в нуле) и  $n = 2$ , определитель информационной матрицы плана  $\xi_{sym}$  вычисляется по следующей формуле (см. [5, с. 74, теорема 3]):

$$|M(\xi_{sym})| = \lambda_{2,0}^2 \lambda_{2,2} (\lambda_{4,0} - \lambda_{2,2}) (\lambda_{4,0} + \lambda_{2,2} - 2\lambda_{2,0}^2). \quad (8)$$

В силу того, что для квадратичной модели оптимальный план сконцентрирован в точках с координатами  $|x_i| = 1, 0$ ;  $i = 1, 2$ ,  $\lambda_{2,0}^* = \lambda_{4,0}^*$  и моментные соотношения  $\lambda_{2,0}$  и  $\lambda_{2,2}$  линейно зависят от весов  $\omega_1, \omega_2$ , величины  $\lambda_{2,0}^*, \lambda_{2,2}^*$ , доставляющие максимум  $|M(\xi)|$ , могут быть найдены как решение системы соответствующих частных производных:

$$\begin{cases} \lambda_{2,0}^* = \frac{35}{64} + \frac{5\sqrt{57}}{192} \\ \lambda_{2,2}^* = \frac{135}{512} + \frac{65\sqrt{57}}{1536}. \end{cases} \quad (9)$$

Данное решение может быть обобщено на случай  $k$ -мерной модели, а решения соответствующей системы для моментных соотношений могут быть использованы для нахождения весов оптимального плана (см. [5, с. 74, теорема 4]).

Однако уже для модели третьего порядка ( $n = 3$ ) и квадратной области планирования (с центром в нуле) ситуация значительно сложнее и этот подход работать не будет. Так, например, в этом случае определитель матрицы  $M(\xi_{sym})$  имеет вид

$$\begin{aligned}
|M(\xi_{sym})| &= \\
&= -(2\kappa_1^2 - \kappa_2 - \kappa_4)(-\kappa_4 + \kappa_2)(\kappa_1\kappa_3\kappa_5 - \kappa_1\kappa_5^2 - \kappa_2^2\kappa_5 + 2\kappa_2\kappa_4\kappa_5 - \kappa_3\kappa_4^2)^2\kappa_4, \quad (10)
\end{aligned}$$

где  $\kappa_1 = \lambda_{2,0} = \lambda_{0,2}$ ,  $\kappa_2 = \lambda_{4,0} = \lambda_{0,4}$ ,  $\kappa_3 = \lambda_{6,0} = \lambda_{0,6}$ ,  $\kappa_4 = \lambda_{2,2}$ ,  $\kappa_5 = \lambda_{4,2} = \lambda_{2,4}$  и соответствующая система уравнений частных производных оказывается неразрешима в радикалах. С другой стороны, непосредственное представление определителя информационной матрицы в виде функции от точек и весов плана  $\xi_{sym}$  приводит к еще более сложной системе уравнений, также не имеющей решения в радикалах.

Следующий результат позволяет существенно упростить задачу построения оптимального плана для модели порядка  $n$ .

**Теорема 3.1.** *Для модели (5) полного ранга порядка  $n$  и квадратной области планирования  $\mathcal{X} = [-a, a] \times [-a, a]$   $D$ -оптимальный план  $\xi_D$  принадлежит классу симметричных планов второго порядка и может быть представлен в виде линейной комбинации следующих планов:*

$$\xi_D = \frac{1}{4}\xi_{0,0} + \frac{1}{4}\xi_{0,1} + \frac{1}{4}\xi_{0,1} + \frac{1}{4}\xi_{1,1}, \quad (11)$$

где план  $\xi_{0,0}$  задается следующими матрицами точек носителя  $P_{0,0}$  и весов  $W_{0,0}$ :

$$P_{0,0} = \begin{pmatrix} \left( x_{\lfloor \frac{n}{2} \rfloor, \lfloor \frac{n}{2} \rfloor + 1}, x_{\lfloor \frac{n}{2} \rfloor, \lfloor \frac{n}{2} \rfloor + 1} \right) & \cdots & \left( x_{\lfloor \frac{n}{2} \rfloor, 2}, x_{1, \lfloor \frac{n}{2} \rfloor + 1} \right) & \left( x_{\lfloor \frac{n}{2} \rfloor, 1}, a \right) \\ \vdots & \ddots & \vdots & \vdots \\ \left( x_{1, \lfloor \frac{n}{2} \rfloor + 1}, x_{\lfloor \frac{n}{2} \rfloor, 2} \right) & \cdots & (x_{1,2}, x_{1,2}) & (x_{1,1}, a) \\ \left( a, x_{\lfloor \frac{n}{2} \rfloor, 1} \right) & \cdots & (a, x_{1,1}) & (a, a) \end{pmatrix},$$

$$W_{0,0} = \begin{pmatrix} \omega_{\lfloor \frac{n}{2} \rfloor + 1, \lfloor \frac{n}{2} \rfloor + 1} & \cdots & \omega_{1, \lfloor \frac{n}{2} \rfloor + 1} \\ \vdots & \ddots & \vdots \\ \omega_{\lfloor \frac{n}{2} \rfloor + 1, 1} & \cdots & \omega_{1,1} \end{pmatrix},$$

при этом  $\omega_{i,j} = \omega_{j,i}$  и  $\sum_{i,j=1}^{\lfloor \frac{n}{2} \rfloor + 1} \omega_{i,j} = 1$ .

Точки планов  $\xi_{i,j}$ ,  $i, j = 0, 1$  задаются умножением первой координаты соответствующей точки плана  $\xi_{0,0}$  на  $(-1)^i$ , а второй — на  $(-1)^j$ . Например, первая точка плана  $\xi_{0,1} - (a, -a)$  с весом  $\omega_{1,1}$ . В случае, если  $n$  — четное, имеют место равенства  $x_{\lfloor \frac{n}{2} \rfloor, j} \equiv 0$ ,  $j = 1, \dots, \lfloor \frac{n}{2} \rfloor + 1$ .

**ДОКАЗАТЕЛЬСТВО ТЕОРЕМЫ 3.1.** То, что план  $\xi_D$ , определенный в теореме, принадлежит классу симметричных планов второго порядка, проверяется непосредственной подстановкой:

$$\int_{\mathcal{X}} x_1^{\alpha_1} x_2^{\alpha_2} d\xi(x) = \frac{1}{4} \int_{\mathcal{X}} x_1^{\alpha_1} x_2^{\alpha_2} d\xi_{0,0}(x) + \frac{1}{4} \int_{\mathcal{X}} x_1^{\alpha_1} x_2^{\alpha_2} d\xi_{1,0}(x) + \frac{1}{4} \int_{\mathcal{X}} x_1^{\alpha_1} x_2^{\alpha_2} d\xi_{0,1}(x) + \frac{1}{4} \int_{\mathcal{X}} x_1^{\alpha_1} x_2^{\alpha_2} d\xi_{1,1}(x) = \frac{1}{4} \sum_{i,j=1}^{n-1} x_{1(ij)}^{\alpha_1} x_{2(ij)}^{\alpha_2} (1 + (-1)^{\alpha_1} + (-1)^{\alpha_2} + (-1)^{\alpha_1 + \alpha_2}) \omega_{i,j} = 0,$$

если  $\alpha_1$  или  $\alpha_2$  — нечетные. Точки  $(x_{1(ij)}, x_{2(ij)})$  являются точками носителя плана  $\xi_{0,0}$  и определяются элементами матрицы  $P_{0,0}$  (элемент, стоящий на позиции  $(i, j)$ , соответствует точке плана  $(x_{1(ij)}, x_{2(ij)})$ ).

В силу того, что  $D$ -оптимальный план не зависит от  $\theta$  (вектора параметров модели), и вследствие теоремы 2.1, согласно которой информационные матрицы  $D$ -оптимальных планов совпадают, для моделей  $\eta(x, \theta)$  и  $\eta(-x, \theta)$  (на симметричной, относительно нуля области планирования) совпадают сами  $D$ -оптимальные планы, из чего следует, в свою очередь, что экстремальный полином  $\varphi((x_1, x_2), \xi^*)$  является четной функцией относительно своих аргументов. Из этого также следует, что функция  $\varphi((x_1, x_2), \xi^*)$  симметрична относительно плоскостей, проходящих через прямые  $x_1 = x_2$  и  $x_1 = -x_2$  и параллельных оси аппликат.  $\square$

**Замечание 3.1.** В общем случае, когда в качестве области планирования выступает прямоугольная область  $\mathcal{X} = [a_1, a_2] \times [b_1, b_2]$ , соответствующий  $D$ -оптимальный план получается из плана  $\xi_D$  с помощью аффинного преобразования его точек носителя.

Проиллюстрируем на примерах, как можно использовать данную теорему в задачах построения  $D$ -оптимальных планов.

**Пример 3.1.** Рассмотрим модель (5) третьей степени ( $n = 3$ ) и квадратную область планирования  $\mathcal{X} = [-1, 1] \times [-1, 1]$ . В силу теоремы 3.1 задача построения

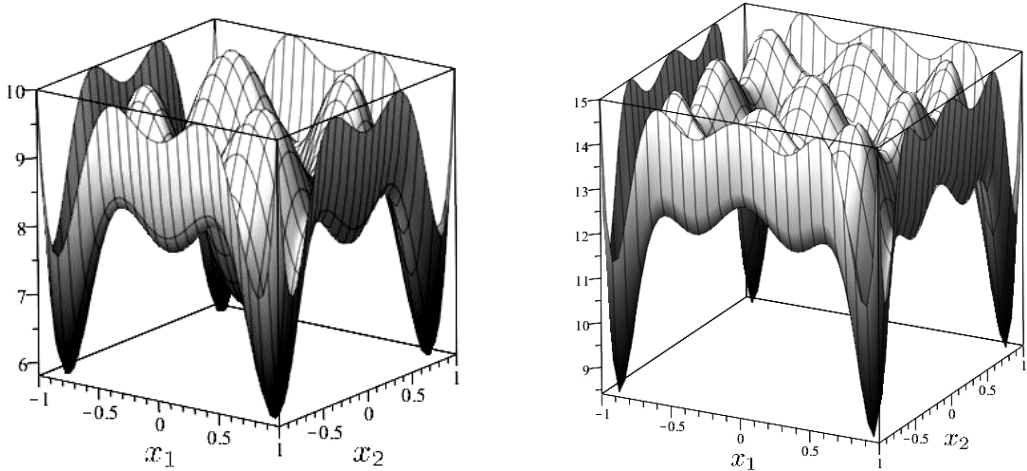


Рис. 1. Поведение экстремального полинома  $\varphi((x_1, x_2), \xi_D)$  из теоремы 2.1 для  $D$ -оптимальных планов  $\xi_D^{(3)}$  (слева) и  $\xi_D^{(4)}$  (справа), структура которых определяется в теореме 3.1 для модели (5) третьей и четвертой степени ( $n = 3, 4$ ).

$D$ -оптимального плана сводится к нахождению всего 4 неизвестных ( $x_{1,1}, x_{1,2}, \omega_{1,1}, \omega_{1,2}$ ):

$$\xi_{0,0} = \begin{pmatrix} (1, 1) & (1, x_{1,1}) & (x_{1,1}, 1) & (x_{1,2}, x_{1,2}) \\ \omega_{1,1} & \omega_{1,2} & \omega_{1,2} & 1 - \omega_{1,1} - 2\omega_{1,2} \end{pmatrix},$$

веса и точки в матричной форме:

$$P_{0,0} = \begin{pmatrix} (x_{1,2}, x_{1,2}) & (x_{1,1}, 1) \\ (1, x_{1,1}) & (1, 1) \end{pmatrix}, \quad W_{0,0} = \begin{pmatrix} 1 - \omega_{1,1} - 2\omega_{1,2} & \omega_{1,2} \\ \omega_{1,2} & \omega_{1,1} \end{pmatrix}.$$

Численное решение соответствующих систем уравнений дает следующие значения:  $x_{1,1} = 0.3587$ ,  $x_{1,2} = 0.4801$ ,  $\omega_{1,1} = 0.3674$ ,  $\omega_{1,2} = 0.2305$ . Поведение экстремального полинома оптимального плана  $\xi_D^{(3)} = \frac{1}{4}\xi_{0,0} + \frac{1}{4}\xi_{0,1} + \frac{1}{4}\xi_{0,1} + \frac{1}{4}\xi_{1,1}$  изображено на рис. 1 (слева).

Теперь рассмотрим модель (5) четвертой степени ( $n = 4$ ) на такой же области планирования. В силу теоремы 3.1 точки и веса плана  $\xi_{0,0}$  определяются матрицами

$$P_{0,0} = \begin{pmatrix} (0, 0) & (0, x_{1,3}) & (0, 1) \\ (x_{1,3}, 0) & (x_{1,2}, x_{1,2}) & (x_{1,1}, 1) \\ (1, 0) & (1, x_{1,1}) & (1, 1) \end{pmatrix}, \quad W_{0,0} = \begin{pmatrix} \omega_{3,3} & \omega_{2,3} & \omega_{1,3} \\ \omega_{2,3} & \omega_{2,2} & \omega_{1,2} \\ \omega_{1,3} & \omega_{1,2} & \omega_{1,1} \end{pmatrix},$$

и задача построения  $D$ -оптимального плана сводится к нахождению 7 неизвестных ( $x_{1,1}, x_{1,2}, x_{1,3}, \omega_{1,1}, \omega_{1,2}, \omega_{1,3}$  и  $\omega_{2,2}$ ). Поведение экстремального полинома оптимального плана  $\xi_D^{(4)}$  изображено на рис. 1 (справа).

**4.  $D$ -оптимальные планы для двумерной полиномиальной модели неполного ранга.** В данном разделе мы рассмотрим, как аффинное преобразование пространства планирования влияет на структуру  $D$ -оптимального плана. Нам понадобится ввести несколько дополнительных понятий.

**Определение 4.1.** Будем говорить, что модель (5) степени  $n$  является моделью неполного ранга, если размерность вектора регрессионных функций  $p < C_{n+2}^2$ .

**Определение 4.2.** Будем говорить, что модель (5) робастна относительно аффинного преобразования пространства планирования, если в результате этого преобразования множество элементов функции регрессии этой модели остается неизменным. Если множество элементов остается неизменным при аффинном преобразовании пространства планирования лишь по одной оси координат ( $x_1$  или  $x_2$ ), будем называть модель полуробастной.

Следующий результат дает достаточные условия сохранения структуры  $D$ -оптимального плана при аффинном преобразовании пространства планирования.

**Теорема 4.1.** *Достаточным условием того, что  $D$ -оптимальный план сохраняет свою структуру при аффинном преобразовании пространства планирования, является робастность модели (относительно данного преобразования). При этом точки нового  $D$ -оптимального плана получаются в результате аффинного преобразования соответствующих точек исходного плана, а веса остаются неизменными.*

**ДОКАЗАТЕЛЬСТВО ТЕОРЕМЫ 4.1.** Пусть  $\eta(x, \theta)$  — полиномиальная функция регрессии модели (5) (не обязательно полного ранга), а  $\gamma : \mathcal{X} \rightarrow \tilde{\mathcal{X}}$  — соответствующее аффинное преобразование. Обозначим за  $\xi^*$   $D$ -оптимальный план для исходного пространства планирования, а за  $\tilde{\xi}^*$  —  $D$ -оптимальный план для  $\tilde{\mathcal{X}}$ . Утверждение теоремы следует из определения  $D$ -оптимального плана, в соответствии с которым точки и веса плана не зависят от вектора параметров регрессионной модели, и значит, в силу робастности, модель  $y = \eta(x, \theta) + \epsilon$  на области  $\mathcal{X}$  эквивалентна модели  $y = \eta(\gamma^{-1}(x), \theta) + \epsilon$  на области  $\tilde{\mathcal{X}}$ . А в силу теоремы 2.1 для заданной области планирования и фиксированной функции регрессии информационные матрицы  $D$ -оптимальных планов совпадают, что, в свою очередь, означает, что экстремальный полином  $\varphi(x, \tilde{\xi}^*) = \varphi(\gamma^{-1}(x), \xi^*)$ ,  $x \in \tilde{\mathcal{X}}$ .  $\square$

Рассмотрим небольшой пример, показывающий, что условие робастности, сформулированное в теореме 4.1, не является необходимым.

**Пример 4.1.** *Рассмотрим модель (5) степени 2, неполного ранга. В качестве вектора регрессионных функций выберем вектор  $f(x_1, x_2) = (1, x_2, x_1^2)^T$ . Данная модель является полуробастной (по  $x_2$ ). Вместе с тем с помощью прямых вычислений легко убедиться, что при  $a_2 > a_1 \geq 0$  на прямоугольнике  $\mathcal{X} = [a_1, a_2] \times [b_1, b_2]$  для данной модели оптимальный план сосредоточен с равными весами в вершинах области планирования:*

$$\xi_D = \begin{pmatrix} (a_1, b_1) & (a_1, b_2) & (a_2, b_1) & (a_2, b_2) \\ 0.25 & 0.25 & 0.25 & 0.25 \end{pmatrix}.$$

Таким образом, оптимальный план сохраняет свою структуру при аффинных преобразованиях интервалов  $[a_1, a_2]$  и  $[b_1, b_2]$  в том случае, если интервал  $[a_1, a_2]$  не включает ноль. В противном случае  $D$ -оптимальный план имеет следующий вид:

$$\xi_D = \begin{cases} \xi_l, & a_1 + a_2 > 0; \\ (1 - \alpha)\xi_l + \alpha\xi_r, & a_1 + a_2 = 0; \\ \xi_r, & a_1 + a_2 < 0, \end{cases}$$

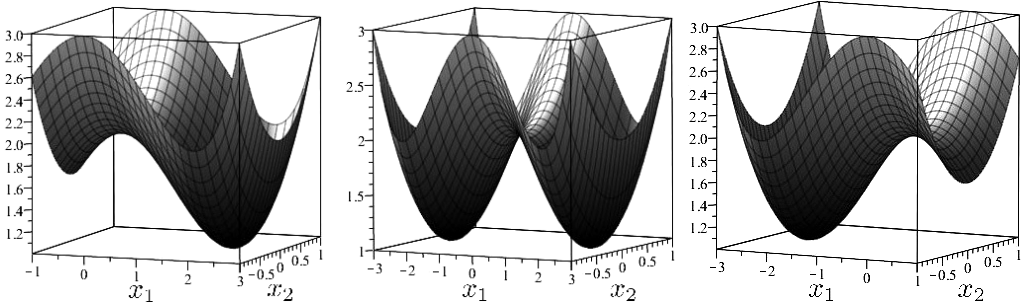


Рис. 2. Поведение экстремального полинома  $\varphi((x_1, x_2), \xi_D)$  из теоремы 2.1 для  $D$ -оптимального плана  $\xi_D$  из примера 4.1 на прямоугольнике  $\mathcal{X} = [a_1, a_2] \times [-1, 1]$  для случаев  $a_1 = -1, a_2 = 3$  (слева),  $a_1 = -3, a_2 = 3$  (центр),  $a_1 = 3, a_2 = -1$  (справа).

где  $\alpha$  — произвольно выбранное число от 0 до 1,

$$\xi_l = \begin{pmatrix} (0, b_1) & (0, b_2) & (a_2, b_1) & (a_2, b_2) \\ 0.25 & 0.25 & 0.25 & 0.25 \end{pmatrix},$$

$$\xi_r = \begin{pmatrix} (a_1, b_1) & (a_1, b_2) & (0, b_1) & (0, b_2) \\ 0.25 & 0.25 & 0.25 & 0.25 \end{pmatrix}.$$

Поведение экстремального многочлена этого плана можно видеть на рис. 2.

Одна из ключевых проблем, связанная с построением оптимальных планов для моделей неполного ранга, заключается в том, что неудачный выбор размерности (т.е. числа точек носителя) кандидата в оптимальный план приводит к тому, что решение, полученное численными методами, оказывается не оптимальным (вследствие «застывания» в локальном минимуме). Ниже предлагается алгоритм, основанный на использовании свойства симметрии оптимального плана (теорема 3.1), позволяющий избежать этой проблемы.

Пусть модель (5) не является робастной относительно аффинного преобразования, и нашей задачей является построение  $D$ -оптимального плана на прямоугольнике:  $\mathcal{X} = [a_1, a_2] \times [b_1, b_2]$ . Для определенности будем считать, что  $|b_2| \geq |b_1|$  и  $|a_2| \geq |a_1|$ . Для построения можно использовать следующий алгоритм.

#### Алгоритм 4.1. Построение $D$ -оптимального плана

**Шаг 1.** Проводится оценка степени модели по каждому из аргументов. Обозначим за  $n_1$  степень модели по  $x_1$  при фиксированном значении аргумента  $x_2$ , а за  $n_2$  — по  $x_2$  при фиксированном значении аргумента  $x_1$ .

**Шаг 2.** В качестве начальной точки выбирается план  $\xi^{(0)}$ , сконцентрированный в  $N$  равноотстоящих точках с равными весами. При этом

$$N = \begin{cases} 4 \left( \left\lfloor \frac{n_1}{2} \right\rfloor + 1 \right) \left( \left\lfloor \frac{n_2}{2} \right\rfloor + 1 \right), & \text{если } n_1, n_2 \text{ — нечетные;} \\ 4 \left\lfloor \frac{n_1}{2} \right\rfloor + 2 \left( \left\lfloor \frac{n_2}{2} \right\rfloor + 1 \right), & \text{если } n_1 \text{ — четное, } n_2 \text{ — нечетное;} \\ \left( \left\lfloor \frac{n_1}{2} \right\rfloor + 1 \right) \left( 4 \left\lfloor \frac{n_2}{2} \right\rfloor + 2 \right), & \text{если } n_1 \text{ — нечетное, } n_2 \text{ — четное;} \\ 2 \left\lfloor \frac{n_1}{2} \right\rfloor \left( \left\lfloor \frac{n_2}{2} \right\rfloor + 1 \right) + 2 \left\lfloor \frac{n_2}{2} \right\rfloor \left( \left\lfloor \frac{n_1}{2} \right\rfloor + 1 \right) + 1, & \text{если } n_1, n_2 \text{ — четные.} \end{cases}$$

**Шаг 3.** Для нахождения кандидата в оптимальный план применяется какой-либо оптимизационный алгоритм (например, Нелдера — Мида). Найденный план проверяется на оптимальность. В случае положительного результата проверки переходим к шагу 9. В противном случае — к шагу 4.

**Шаг 4.** В качестве новой области планирования выбирается область  $\tilde{\mathcal{X}} = [-a_2, a_2] \times [-b_2, b_2]$ .

**Шаг 5.** Рассчитываются веса и точки симметричного плана  $\xi_D^{(0)}$  из теоремы 3.1 (структура точек носителя которого определяется матрицей  $P_{0,0} \in R^{(\lfloor \frac{n_1}{2} \rfloor + 1) \times (\lfloor \frac{n_2}{2} \rfloor + 1)}$ , а веса матрицей  $W_{0,0}$ ).

**Шаг 6.** Устанавливаются значения  $\alpha_0$  и  $\beta_0$  (скоростей адаптации). Соответствующие границы области  $\tilde{\mathcal{X}}$  сдвигаются на  $\alpha_0$  и  $\beta_0$  в направлении соответствующих границ  $\mathcal{X}$ . Пересчитываются точки и веса плана. Переходим к шагу 7.

**Шаг 7.** Найденный план проверяется на оптимальность. В случае положительного результата проверки из плана исключаются точки с нулевыми весами (если такие имеются) и повторяется шаг 6 до тех пор, пока  $\tilde{\mathcal{X}} \neq \mathcal{X}$ , после чего выполняется шаг 9. В противном случае — шаг 8.

**Шаг 8.** Устанавливается пороговый уровень  $\epsilon$ . Выбирается последний найденный оптимальный план, если все его веса больше  $\epsilon$ , выбираются новые скорости адаптации  $\alpha_{k+1} < \alpha_k$  и  $\beta_{k+1} < \beta_k$ , выполняется шаг 6. В противном случае из него исключаются точки с весом меньше  $\epsilon$ , устанавливаются новые скорости адаптации (с учетом оставшихся расстояний между соответствующими границами областей  $\tilde{\mathcal{X}}$  и  $\mathcal{X}$ ) и выполняется шаг 6.

**Шаг 9.** Проверяем, что экстремальный полином в точках оптимального плана имеет единственный экстремум и при необходимости исключаем из плана избыточные точки. Завершаем работу алгоритма.

Данный алгоритм позволяет гарантировать, что численное решение целевой оптимизационной задачи (4) сойдется к глобальному максимуму. Скорости адаптации и пороговый уровень являются настраиваемыми параметрами алгоритма.

Проиллюстрируем работу алгоритма на примере.

**Пример 4.2.** Рассмотрим модель (5) неполного ранга на области планирования  $[0, 1] \times [-0.5, 1]$  с вектором регрессионных функций  $f(x_1, x_2) = (1, x_1, x_1 x_2, x_2 x_1^2, x_1^3)^T$ . Эта модель, очевидно, не является робастной. В данном случае целевая оптимизационная задача исходно (при использовании в качестве начального приближения равномерного плана) имеет 27 неизвестных (12 внутренних точек + 15 весов). В соответствии с первым шагом алгоритма размерность решения может быть уменьшена до 11 неизвестных (4 внутренние точки + 7 весов).

**Шаг 1.**  $n_1 = 3$ ,  $n_2 = 1$  (порядки модели по  $x_1$  и по  $x_2$ ).

Предположим, шаг 3 не дал удовлетворительного результата. Выполняем шаги 4 и 5: выбираем  $\tilde{\mathcal{X}} = [-1, 1] \times [-1, 1]$  и рассчитываем веса и точки симметричного плана (в данном случае требуется найти всего 2 (!) неизвестных). Задаем скорости адаптации (например,  $\alpha_0 = 0.5$  и  $\beta_0 = 0.5$ ) и выполняем оставшиеся шаги алгоритма. На рис. 3 отображено поведение экстремальных многочленов оптимальных планов при соответствующей итерации алгоритма. Как свидетельствует правый график (на рис. 3), результирующий D-оптимальный план сосредоточен в

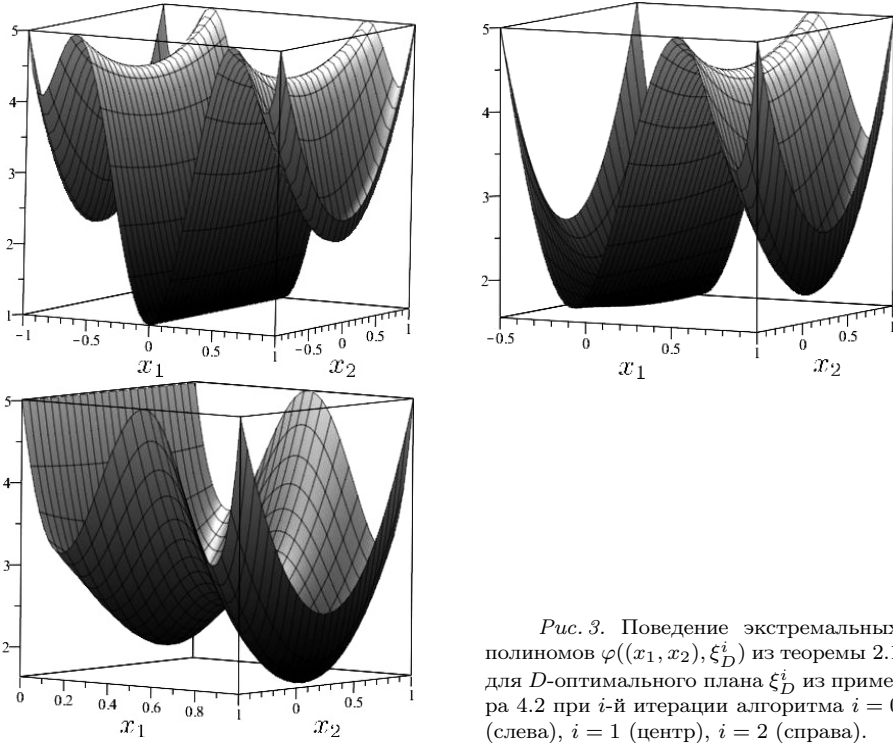


Рис. 3. Поведение экстремальных полиномов  $\varphi(x_1, x_2, \xi_D^i)$  из теоремы 2.1 для  $D$ -оптимального плана  $\xi_D^i$  из примера 4.2 при  $i$ -й итерации алгоритма  $i = 0$  (слева),  $i = 1$  (центр),  $i = 2$  (справа).

5 точек с равными весами, т. е. является насыщенным:

$$\xi_D^{(3)} = \begin{pmatrix} (0, t) & (\frac{\sqrt{41}-1}{10}, -0.5) & (\frac{\sqrt{41}-1}{10}, 1) & (1, -0.5) & (1, 1) \\ 0.2 & 0.2 & 0.2 & 0.2 & 0.2 \end{pmatrix},$$

для  $\forall$  фикс.  $t \in [-0.5, 1]$ .

**5. Заключение.** В заключение скажем несколько слов об эффективности  $D$ -оптимальных планов. Под  $D$ -эффективностью плана  $\xi$  понимается следующая функция:

$$\text{eff}_D(\xi) = \left( \frac{|M(\xi)|}{|M(\xi_D)|} \right)^{1/p},$$

где  $\xi_D$  —  $D$ -оптимальный план.

Для сравнения будем использовать планы  $\xi_{unif}$  (сконцентрированные в равноотстоящих точках с равными весами) с тем же количеством точек, что и у соответствующего  $D$ -оптимального плана. Численные результаты показывают, что при увеличении степени модели эффективность равномерных планов стремительно снижается. Так, для модели полного ранга при  $n = 1$  эффективность составляет 100%; при  $n = 2$  — 85.4%; при  $n = 3$  — 55.8%; при  $n = 4$  — 22.5% и при  $n = 5$  менее 10%. То есть для модели пятой степени при использовании равномерного плана для достижения той же точности требуется провести более чем в 10 (!) раз больше измерений, чем при использовании  $D$ -оптимального плана. Данные результаты подтверждают целесообразность использования  $D$ -оптимальных планов на практике.

## Литература

1. Fedorov V. V. *Theory of Optimal Experiment*. New York, Academic Press (1972).
2. Pukelsheim F. *Optimal Design of Experiments*. Philadelphia, SIAM (2006).
3. Atkinson A. C., Donev A. N., Tobias R. D. *Optimum Experimental Designs*. Oxford, Oxford University Press (2007).
4. Schwabe R. *Optimum designs for multi-factor models*. New York, Springer Verlag (1996).
5. Ермаков С. М. *Математическая теория планирования эксперимента*. Москва, Наука (1983).
6. Зедгинидзе И. Г. *Планирование эксперимента для исследования многокомпонентных систем*. Москва, Наука (1976).
7. Melas V. B., Pepelyshev A., Cheng R. Designs for estimating an extremal point of quadratic regression models in a hyperball. *Metrika* **58**, 193–208 (2003).
8. Dette H., Melas V. B., Pepelyshev A. N. Optimal designs for three-dimensional shape analysis with spherical harmonic descriptors. *Ann. Statist.* **33** (6), 2758–2788 (2005).
9. Castro Y. De, Gamboa F., Henrion D., Hess R., Lasserre J.-B. Approximate optimal designs for multivariate polynomial regression. *Ann. Statist.* **47** (1), 127–155 (2019).
10. Grigoriev Y. D., Melas V. B., Shpilev P. V. Excess of locally  $d$ -optimal designs for cobb-douglas model. *Statistical Papers* **59** (4), 1425–1439 (2018).
11. Grigoriev Y. D., Melas V. B., Shpilev P. V. Excess and saturated  $d$ -optimal designs for the rational model. *Statistical Papers* **62** (3), 1387–1405 (2021).
12. Мелас В. Б., Шпилев П. В. Исследование свойства избыточности  $L$ -оптимального плана для модели Лэйбла. *Вестник Санкт-Петербургского университета. Математика. Механика. Астрономия* **9** (67), вып. 3, 495–505 (2022). <https://doi.org/10.21638/spbu01.2022.310>
13. Kiefer J. General equivalence theory for optimum designs (approximate theory). *Annals of Statistics* **2**, 849–879 (1974).

Статья поступила в редакцию 25 ноября 2023 г.;  
доработана 6 декабря 2023 г.;  
рекомендована к печати 22 февраля 2024 г.

Контактная информация:

Шпилев Петр Валерьевич — канд. физ.-мат. наук, доц.; [pitshp@hotmail.com](mailto:pitshp@hotmail.com), [p.shpilev@spbu.ru](mailto:p.shpilev@spbu.ru)

## $D$ -optimal designs for a two-dimensional polynomial model\*

P. V. Shpilev

St. Petersburg State University, 7–9, Universitetskaya nab., St. Petersburg, 199034, Russian Federation

**For citation:** Shpilev P. V.  $D$ -optimal designs for a two-dimensional polynomial model. *Vestnik of Saint Petersburg University. Mathematics. Mechanics. Astronomy*, 2024, vol. 11 (69), issue 3, pp. 537–548. <https://doi.org/10.21638/spbu01.2024.310> (In Russian)

The influence of an affine transformation of the design space on the number of support points in the  $D$ -optimal design has been studied for a two-dimensional polynomial regression model. For a full rank model of degree  $n$ , a result was obtained that determines the structure of the  $D$ -optimal plan. It is proven that for a region of design space that is symmetric about zero, the optimal plan is symmetric as well. This result allows for a significant reduction in the dimensionality of the optimization problem and forms the basis of an algorithm developed by the author for finding  $D$ -optimal plans for models of incomplete rank in non-symmetric design regions. The  $D$ -efficiency of designs concentrated at equidistant points was investigated.

*Keywords:* multivariate regression models, two-dimensional polynomial regression models,  $D$ -optimal designs,  $D$ -efficiency.

---

\*The research was funded by the Russian Science Foundation and the St. Petersburg Science Foundation joint grant no. 23-21-10013, <https://rscf.ru/project/23-21-10013/>.

## References

1. Fedorov V. V. *Theory of Optimal Experiment*. New York, Academic Press (1972).
2. Pukelsheim F. *Optimal Design of Experiments*. Philadelphia, SIAM (2006).
3. Atkinson A. C., Donev A. N., Tobias R. D. *Optimum Experimental Designs*. Oxford, Oxford University Press (2007).
4. Schwabe R. *Optimum designs for multi-factor models*. New York, Springer Verlag (1996).
5. Ermakov S. M. *Mathematical Theory of Experimental Design*. Moscow, Nauka Publ. (1983). (In Russian)
6. Zedginidze I. G. *Experimental Design for the Study of Multicomponent Systems*. Moscow, Nauka Publ. (1976). (In Russian)
7. Melas V. B., Pepelyshev A., Cheng R. Designs for estimating an extremal point of quadratic regression models in a hyperball. *Metrika* **58**, 193–208 (2003).
8. Dette H., Melas V. B., Pepelyshev A. N. Optimal designs for three-dimensional shape analysis with spherical harmonic descriptors. *Ann. Statist.* **33** (6), 2758–2788 (2005).
9. Castro Y. De, Gamboa F., Henrion D., Hess R., Lasserre J.-B. Approximate optimal designs for multivariate polynomial regression. *Ann. Statist.* **47** (1), 127–155 (2019).
10. Grigoriev Y. D., Melas V. B., Shpilev P. V. Excess of locally  $d$ -optimal designs for cobb-douglas model. *Statistical Papers* **59** (4), 1425–1439 (2018).
11. Grigoriev Y. D., Melas V. B., Shpilev P. V. Excess and saturated  $d$ -optimal designs for the rational model. *Statistical Papers* **62** (3), 1387–1405 (2021).
12. Melas V. B., Shpilev P. V. Study of the Excess Property of the  $L$ -Optimal Design for the Label Model. *Vestnik of Saint Petersburg University. Mathematics. Mechanics. Astronomy* **9** (67), iss. 3, 495–505 (2022). <https://doi.org/10.21638/spbu01.2022.310> (In Russian) [Eng. transl.: *Vestnik St Petersburg University. Mathematics* **55**, iss. 3, 313–320 (2022). <https://doi.org/10.1134/S1063454122030128>].
13. Kiefer J. General equivalence theory for optimum designs (approximate theory). *Annals of Statistics* **2**, 849–879 (1974).

Received: November 25, 2023

Revised: December 6, 2023

Accepted: February 22, 2024

Author's information:

Petr V. Shpilev — [pitshp@hotmail.com](mailto:pitshp@hotmail.com), [p.shpilev@spbu.ru](mailto:p.shpilev@spbu.ru)